

DEFEKTI V POLPREVODNIŠKEM SILICIJU

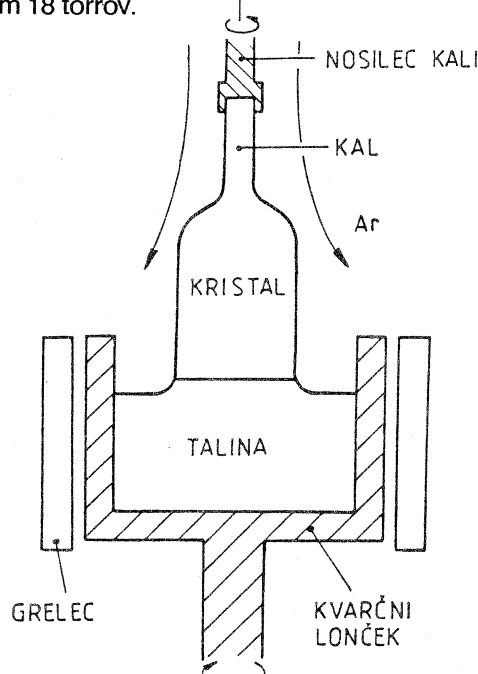
Miran Kramberger

1. UVOD

Silicijev monokristal je osnova za izdelavo večine diskretnih polprevodniških elektronskih elementov ter integriranih vezij. Komercialno ga pridobivamo s kristalizacijo izredno čistega polikristalnega silicija z upornostjo do 3×10^4 ohm cm po metodi Czochralski. Po tej metodi lahko pridobimo monokristale silicija v obliki valjev s premerom do 8 inch in upornostmi med 1 m Ω cm ter 70 Ω cm. Kot dopant za osnovno dopiranje monokristala uporabljamo za p tip - bor, za n tip pa fosfor, arzen ali antimon. Surov monokristal je v sedanjem času brez zlogovnih napak, dvojčkov ali dislokacij, vsebuje pa točkaste defekte, ki pri poznejši obdelavi silicija tvorijo predvsem mikrodefekte v obliki mikrodvojčkov, zlogovnih napak, precipitatorov SiO_x faze in dislokacij.

2. VLEKA SI MONOKRISTALA PO METODI CZOCHRALSKI

Silicijev polikristal stalimo v kvarčnem lončku. Do tališča silicija 1420° C segrevamo z grafitnim grelcem, po katerem teče enosmerni električni tok. Vleka kristala poteka v atmosferi argona s pritiskom 18 torrov.



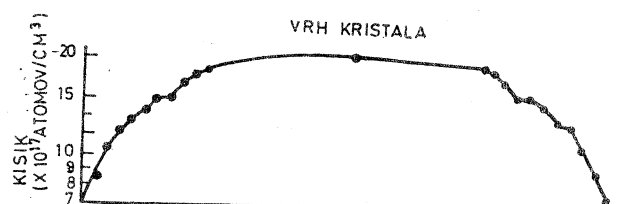
Slika 1: prikaz metode vlečenja monokristala po metodi Czochralski

V talino pomocimo kristalografsko orientirano monokristalno kal in jo počasi vlečemo iz taline. Lonček s talino in kal rotirata v nasprotnih smereh. Tipična hitrost vleke kristala je 3 inch/uro.

Tako izvlečen silicijev monokristal ima kristalografsko orientacijo kali. Običajno pridobivamo kristale z orientacijo osi v kristalnih smereh $<1,1,1>$, $<1,0,0>$ ali $<1,1,0>$. Večina defektov, že vgrajenih v surov monokristal, je posledica metode vlečenja.

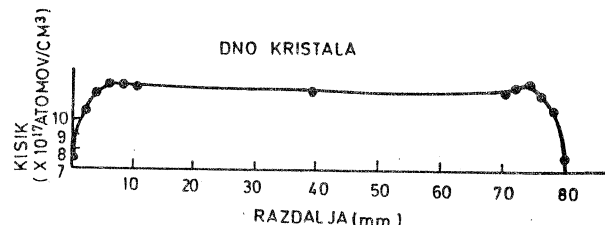
3. OGLJIK IN KISIK V KRISTALU

Talina je v kvarčnem lončku, ki je obdan z vročimi grafitnimi deli. Talina silicija razjeda kvarc z reakcijo $\text{Si} + \text{SiO}_2 \rightarrow \text{SiO}$, zato so v talini molekule ali skupki molekul SiO . Konvekcijski tokovi v talini nosijo SiO proti gladini. Na področju proste gladine SiO izhlapeva, na področju stika med monokristalom in talino pa se SiO vgrajuje v kristalno strukturo. Porazdelitev intersticijskega kisika po premeru kristala ima v zgornjem delu kristala zaradi močnejših tokov v talini obliko, prikazano na sliki 2.



Slika 2: porazdelitev kisika po premeru kristala na vrhu

Pri dnu telesa kristala postane gibanje taline zaradi majhnega volumena oteženo, zato ima prečna porazdelitev intersticijskega kisika obliko, prikazano na sliki 3.

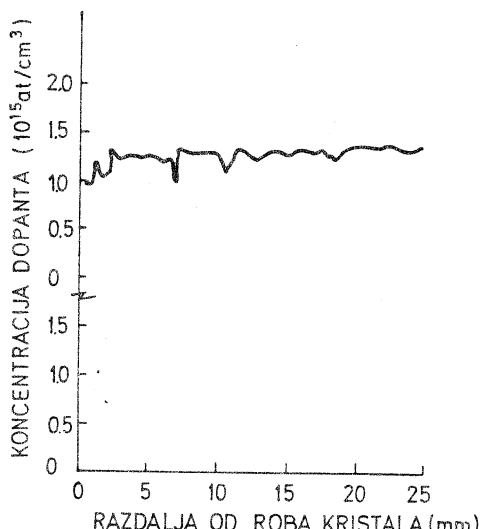


Slika 3: porazdelitev kisika po premeru kristala na dnu

Tudi maksimalne koncentracije intersticijskega kisika se spreminja v odvisnosti od dolžine že izvlečenega kristala. V zgornjem delu je eroziji taline izpostavljen večji del kvarčnega lončka, zato je talina bolj nasičena s kisikom in je najvišja koncentracija intersticijskega kisika približno dvakrat višja kot v spodnjem delu in znaša povprečno 8×10^{17} atom/cm³.

Ob telesu kristala piha argon, ki kristal hlađa in odnaša pare ter delčke SiO stran od gladine taline in stika med kristalom in talino. Argon, v katerem so pare SiO, obliva vroče grafitne dele peči. Reakcija SiO z vročim grafitom poteka po reakciji SiO + 2C → SiC + CO. CO se pri turbulentnem gibanju argona vnese v kristal na njegovo površino. Segregacijski koeficient med talino in kristalom znaša za kisik 1,25, za ogljik pa 7×10^{-2} , zato je koncentracija kisika v kristalu mnogo večja kot v polikristalni surovini, koncentracija ogljika pa je le neznatno višja in znaša okrog 1×10^{16} atmov/cm³.

Tvorba defektov v kristalu se prične že ob kristalizaciji taline. Le-ta ne poteka enakoverno po vsej stični ploskvi med kristalom in talino, marveč poteka kristalizacija prek drobnih kristalizacijskih centrov z velikostnim redom 0,1 mm. Ker kristal rotira okoli osi, potujejo ti centri prek področij z različno temperaturo, saj izoterme niso simetrične. Kristalizacijska jedra se zapored talijo in znova kristalizirajo. To je vzrok, da jedra emitirajo v okolico atome kisika ter posrkajo vase atome dopanta, ki imajo segregacijske koeficiente: fosfor - 0.35, bor - 0.8, arzen - 0.3 ter antimон - 0.023. S tem nastajajo tako imenovani vrtinčni defekti, ki imajo zaradi rotacije kristala osno simetrijo.



Slika 4: spremjanje upornosti kristala po premeru

Na sliki 4 je prikazano spremjanje upornosti kristala po premeru - striacije, ki je posledica nehomogene kristalizacije.

Če privzamemo, da so kristalizacijska jedra okrogla s polmerom r, je prosta energija tvorbe jedra ΔG :

$$\Delta G = -(4/3) \pi r^3 L \Delta T / T_m + 4\pi r^2 \delta$$

δ - površinska napetost med talino in kristalom

L - specifična talilna topota

T_m - temperatura tališča

ΔT - podhlajenje

Če je kritični polmer $r = 28T_m/L \Delta T$, dobimo

$$\Delta G' = \frac{16}{3} \rho \left(\frac{T_m}{L} \right)^2 s^3 / (D T)^2$$

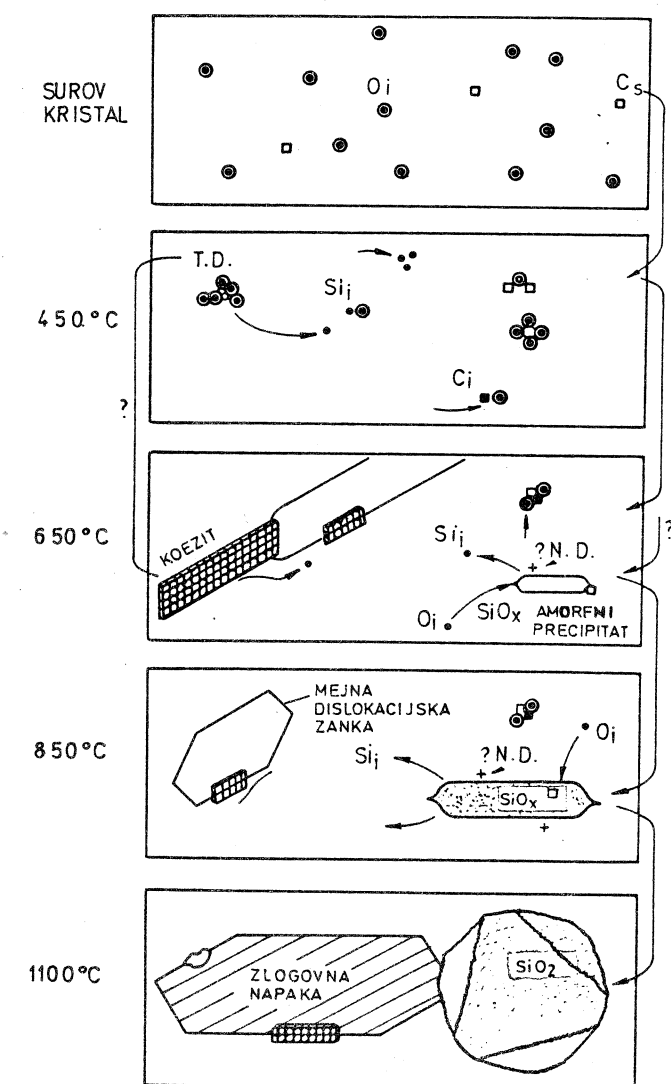
Ravnovesna koncentracija kristalizacijskih jeder n, je

$$n = N \varepsilon \frac{\Delta G}{k T_m}$$

N - število atomov/cm³.

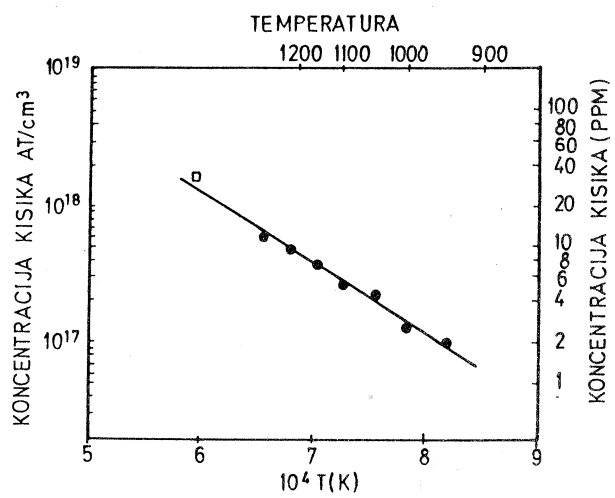
Površinsko napetost med talino in kristalom ocenjujejo na okoli 0,2 J/m² pri čistem siliciju. Če vzamemo za gostoto kristalizacijskih jeder 10^3 - 10^4 /cm³, bi morala biti lokalna podhladitev reda velikosti 100 K, da bi se tvorila jedra, kar pa je neverjetno. Vsebnost kisika v talini pa močno zmanjša površinsko napetost, zato je potrebna lokalna podhladitev, manjša kot 1K in je tvorba kristalizacijskih jeder možna. Volumen Si kristala je večji od volumna taline za okoli 10%. Rast kristalizacijskih jeder povzroča nabiranje Si intersticijskih atomov v njihovi okolici, ki se pri ohlajanju urejajo v dislokacijske zanke in pozneje v zlogovne napake. Vpliv točkastih defektov na poznejšo rast večjih defektov je mnogo bolj izrazit pri kristalih brez dislokacij, saj dislokacije delujejo kot ponor za Si intersticijske atome, hkrati pa preprečujejo večje lokalne podhladitve. Pri procesu ohlajanja kristala na sobno temperaturo iz aglomeracij točkastih defektov rastejo kristalografski defekti, kot so zlogovne napake, precipitati SiO_x, mikrodvojčki ter donorski kompleksi.

Toplotna obdelava kristala pri temperaturi 450° C povzroča tvorbo kisikovih donorskih kompleksov z verjetno stehiometrijo SiO₄. Tvorba kristalografskih defektov se prične pri toplotnih obdelavah pri temperaturi 650° C.

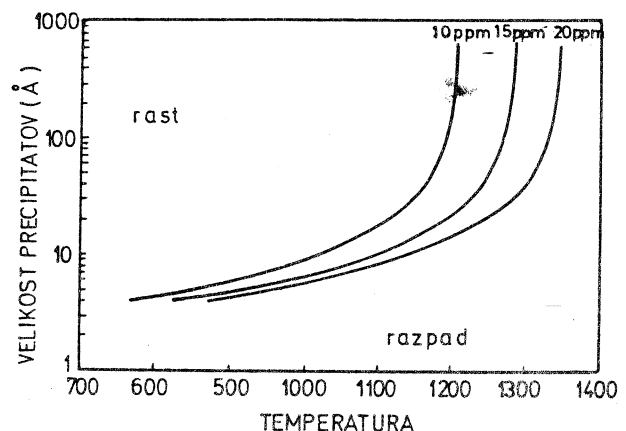


Slika 5: model precipitacije kisika v kristalu pri ohlajevanju in dodatnih topotnih obdelavah pri različnih temperaturah

Pri tej temperaturi nastajata dve vrsti defektov: kristalinična faza SiO_2 - koezit ter amorfni precipitati SiO_x . Koezit nastopa v obliki palic v smereh $<1,1,0>$, z mejnimi ploskvami v ravninah $(1,0,0)$. Velikost teh palic je okoli 100 nm. Ploščati SiO_x precipitati ležijo v ravninah $(1,0,0)$ in imajo premer okrog 1,5 nm. Obe obliki defektov sta koherenčni tvorbi, v okolini pa napenjata kristalno mrežo. Ta napetost se delno sprošča z emisijo Si intersticijev v okolico pri rasti precipitata. Na prispevi kisikov atom se sprosti 0,3 silicijevega atoma.



Slika 6: nasičena koncentracija kisika v Si monokristalu v odvisnosti od temperature

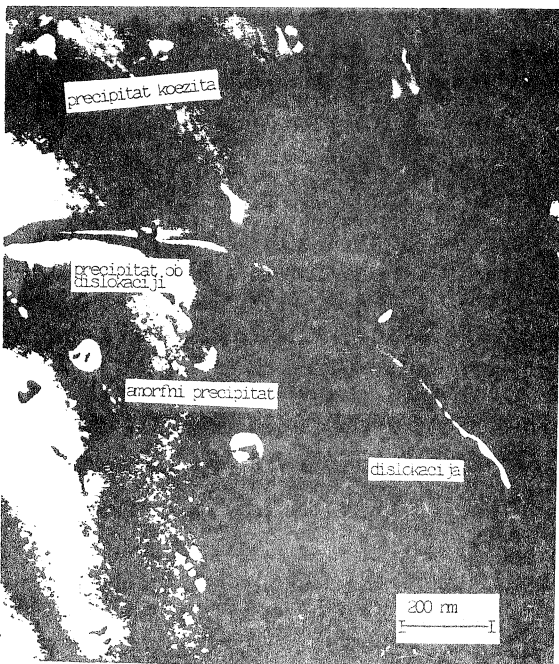


Slika 7: kinetika rasti precipitatov v SiO_x fazi pri različnih temperaturah. Parameter na sliki je začetna koncentracija intersticijskih atomov kisika v kristalu

Pri temperaturah od $700 - 900^\circ\text{C}$ izgine kristalinična SiO_2 faza, stabilni ostajajo le ploščati amorfni precipitati kvadratne oblike z robovi v smereh $<1,1,0>$.

Precipitati pri rasti emitirajo v okolico 0,5 silicijevega intersticija na 1 prispevi kisikov atom. Izbrisnjeni Si intersticiji tvorijo dislokacijske zanke v ravnini precipitata, ki so znak zlogovnih napak. Dislokacijske zanke delujejo tudi kot precipitacijska jedra za kisik in nečistočo v okolini.

Pri temperaturah med 1000 in 1200°C ostajajo amorfni precipitati, vendar spremenijo obliko. Preidejo v tridimenzionalne oktaedre z mejnimi ploskvami v ravninah (1,1,1) in oglišči v smereh <1,0,0>. Precipitati ne napenjajo okoliške kristalne mreže, saj dovolj hitro emitirajo Si intersticijske atome. Tipična velikost teh precipitatorov je 15 do 20 nm. Okrog precipitatorov so dislokacijske zanke intersticijskega tipa. Kinetiko rasti precipitatorov in njihovo velikost določa ravnovesna koncentracija kisikovih intersticijskih atomov pri temperaturi toplotne obdelave. Tipičen čas, potreben za vzpostavitev ravnovesja pri temperaturah pod 1100°C je 100 ur.



Slika 8: TEM posnetek Si monokristala. Vidni so precipitati koezita v obliki palic, amorfni precipitati SiO_x ter dislokacija. Precipitati so koherenti, kar dokazuje napetostni kontrast okoli njih.

4. RAST ZLOGOVNIH NAPAK V SILICIJU PRI TOPLITNIH OBDELAVAH

Aglomerati točkastih defektov delujejo kot nuklearcijska jedra za rast precipitatorov SiO_x faze. Pri rasti precipitatorjev iztiskajo silicijeve atome in vsrkajo vakance, ker imajo večji volumen kot silicij. K rasti zlogovnih napak povečini prispeva podnasičenost vakanc v bližini precipitatorja. Rast precipitatorjev v temperaturnem območju med 750 in 1050°C omejuje difuzija kisikovih intersticijskih atomov, saj je to najpočasnejši proces. Rast zlogovne napake podaja enačba

$$\frac{dr}{dt} = \frac{2\pi v}{b} \left(1 - \left(\frac{r_c}{r}\right)^2\right)^{1/2} \frac{CD}{\ln \frac{8r}{r_c}}$$

$CD = g_v(C_{vei} - C_v) D_v + g_i (C_i - C_{ie}) D_i$
 b - Burgerjev vektor mejne parcialne dislokacije ($3,14 \times 10^{-8}$ cm)

$D_v D_i$ - difuzijski koeficient vakanc in Si intersticijev

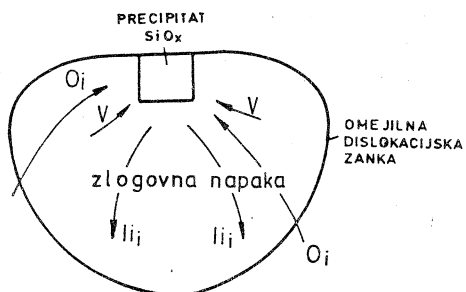
v - volumen točkastega defekta (2×10^{-23} cm³)

g - delež pri rasti zlogovnih napak (med 0 in 1)

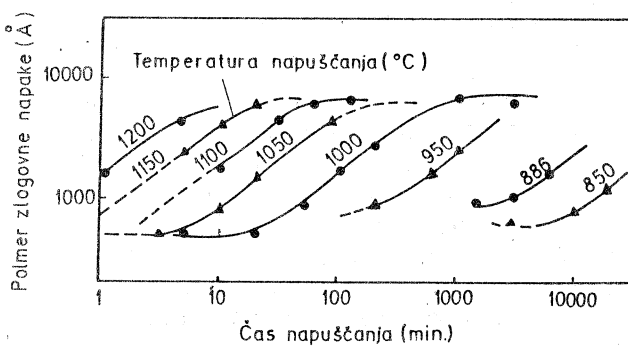
C_{vei} - ravnovesna koncentracija vakanc in Si intersticijev

C_v - ravnovesna koncentracija vakanc ter Si intersticijev

r_c - polmer zlogovne napake

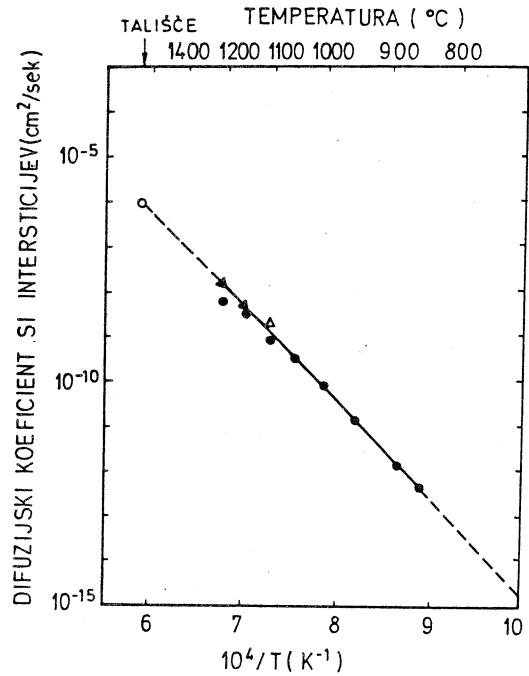


Slika 9: model rasti zlogovne napake pri rasti precipitata SiO_x faze.

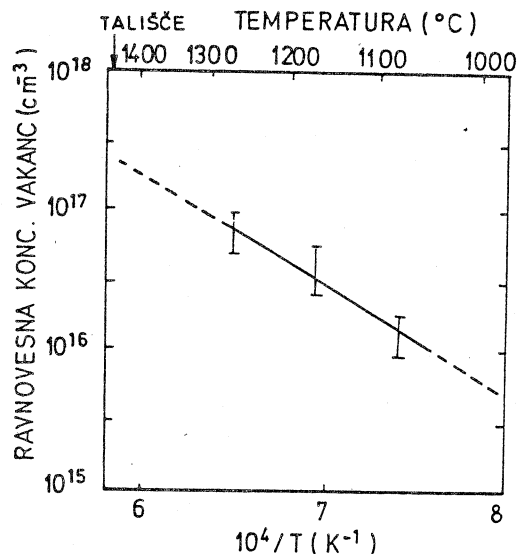


Slika 10: slika podaja kinetiko rasti zlogovne napake pri različnih temperaturah topotnih obdelav Si monokristala

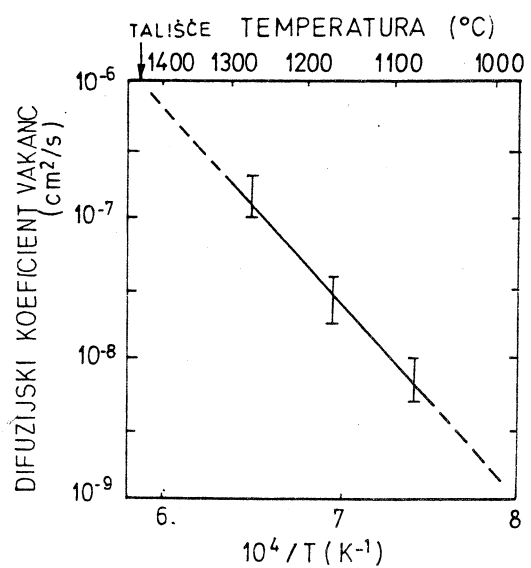
Na slikah so podane odvisnosti D_v , D_i , C_{ve} od temperature.



Slika 11: temperaturna odvisnost difuzijskega koeficiente Si intersticijskih atomov



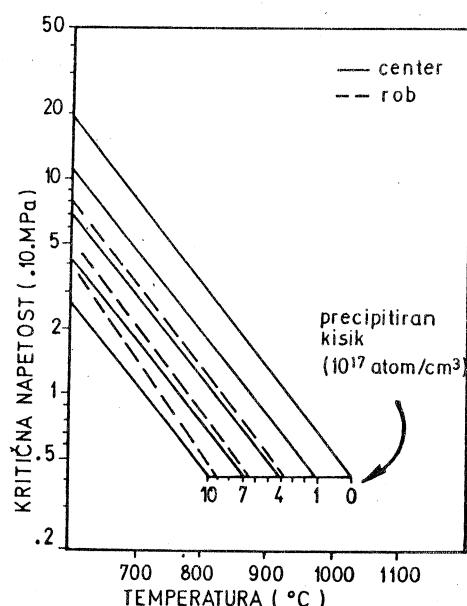
Slika 12: temperaturna odvisnost ravnovesne koncentracije vakanc v monokristalu



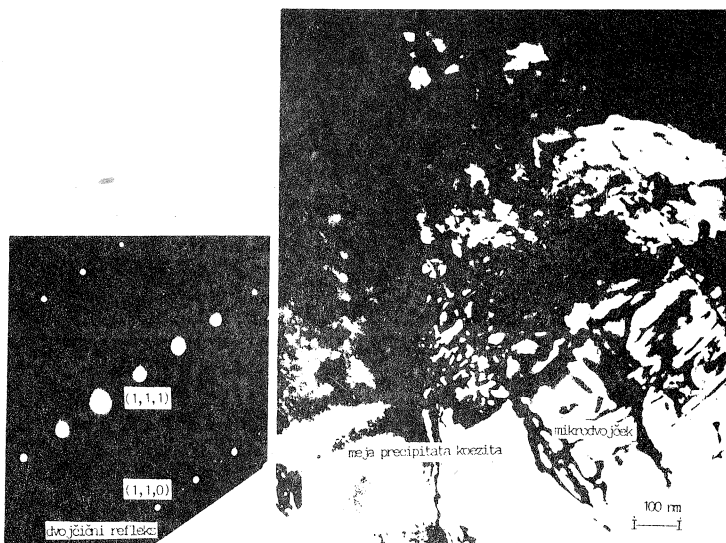
Slika 13: temperaturna odvisnost difuzijskega koeficiente vakanc v Si monokristalu

5. NASTANEK ZLOGOVNIH NAPAK PRI MEHANSKIH OBREMENITVAH KRISTALA

Mehanske napetosti v kristalu povzročajo elastične deformacije, dokler ne dosežejo kritičnih vrednosti. Na kritično vrednost napetosti vplivata temperatura in koncentracija intersticijskega kisika, ki preprečuje zdrse kristalografskih ravnin.

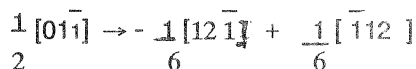


Slika 14: temperaturna odvisnost kritične napetosti v Si monokristalu. Parameter je koncentracija intersticijskega kisika v monokristalu



Slika 15: na sliki je TEM posnetek mikrovojščka ter meja med precipitatom kozita in kristalom. Uklonski refleksi kažejo na to, da je ravnina dvojčenja (1,1,1)

Silicij kristalizira v diamantno strukturo, za katero so značilne dvojčične in zdrsne ravnine tipa (1,1,1). Pri mehanskih napetostih v temperaturnem območju med 400 in 700°C manjših kot 260 MPa se pojavljajo le zdrsi ravnin, dvojčenje pa se pojavi pri napetostih večjih kot 300 MPa. Dvojčična ravnina je sestavljena iz zaporednih dvojčičnih parcialnih dislokacij z Burgerjevim vektorjem $b = 1/6 <1,2,1>$. Le-te nastanejo z disocijacijo zdrsnih dislokacij z Burgerjevim vektorjem $b = 1/2 <0,1,1>$ prek reakcije



do tako velikih mehanskih napetosti pride pri hitrem ohlajanju ali segrevanju rezin Si monokristala.

6. ZAKLJUČEK

Mikrostrukturni defekti v monokristalnem siliciju izhajajo povečini iz aglomeracij točkastih defektov, nastalih pri kristalizaciji taline in ohlajanju kristala. To so precipitati SiO_x faze, dislokacije in zlogovne napake. Ostali defekti, kot so dvojčenje in zdrsi kristalografiskih ravnin se pojavijo pri mehanskih obremenitvah kristala ali kot posledica temperaturnih gradientov v kristalu. Z ustreznouplotno obdelavo lahko pripravimo monokristalne rezine brez vseh defektov in tako eliminiramo njihov vpliv na električne lastnosti. To je vzrok, da ostaja monokristalni silicij osnova tudi za izdelavo ULSI integriranih vezij.

7. LITERATURA

1. A. Remigliato, D. Nobili, and S. Solmi, A. Bourret, P. Verner ELECTRON MICROSCOPY OF AS SUPERSATURATED SILICON
2. H. L. Tsai, E. E. Stephens and F. O. Mayer OXYGEN PRECIPITATION IN HEAVILY BORON-DOPED SILICON CRYSTALS
3. L. D. Marks, D. J. Smith HREM AND STEM OF DEFECTS IN MULTIPLY-TWINNED PARTICLES
4. S. E. Bradshaw, J. GoorisSEN SILICON FOR ELECTRONIC DEVICES
5. H. M. Liaw OXYGEN AND CARBON IN SILICON CRYSTALS
6. K. Yasutake, S. Shimizu, H. Kawabe ANALYSIS OF THE EFFECTIVE STRESSES ACTING ON TWINNING PARTIAL DISLOCATIONS IN SILICON
7. K. Yasutake, S. Shimizu, M. Umeno, H. Kawabe VELOCITY OF TWINNING PARTIAL DISLOCATIONS IN SILICON
8. A. E. Widmer, W. Rehwald THERMOPLASTIC DEFORMATION OF SILICON WAFERS
9. L. Jastrzebski, R. Loydan, J. Mc Ginn, R. Kleppinger, M. Blumenfelt, G. Gillespie, N. Armour, B. Goldsmith, W. Henry, S. Vacurumba A COMPARISON OF INTERNAL GETTERING DURING BIPOLAR, CMOS, AND CCD (HIGH, MEDIUM, LOW TEMPERATURE) PROCESSES
10. R. A. Craven, H. W. Korb INTERNAL GETTERING IN SILICON
11. B. Leroy, C. PlougovenWARPAGE OF SILICON WAFERS
12. K. Wada, N. Inoue POINT DEFECTS AND STACKING FAULT GROWTH IN SILICON
13. L. C. Kimerling, J. M. Parsey THIRTEEN INTERNATIONAL CONFERENCE IN DEFECTS IN SEMICONDUCTORS
14. J. Narayan, T. Y. Tan MATERIALS RESEARCH SOCIETY SYMPOSIA PROCEEDINGS DEFECTS IN SEMICONDUCTORS

mag. Miran Kramberger, dipl.ing.
ISKRA ELEMENTI,
TOZD Polprevodniki
Trbovlje, Gabersko 12